

УДК 535.71

ITERATIVE METHOD FOR CALCULATION OF POLAR COMPONENT OF GIBBS SOLVATION ENERGY UNDER CONDITION OF SMOOTH CHANGE OF SOLUTION DIELECTRIC PERMEABILITY

Grigoriev* F.V., Kupervasser ** O.Yu., Kikot *** I.P.

**E-mail*: fedor.grigoriev@gmail.com,

** *E-mail*: olegkup@yahoo.com,

*** *E-mail*: irakikotx@gmail.com

On basis of previous developed iterative method for calculation of polar component of Gibbs solvation energy, under condition of smooth change of dielectric permeability both between substratum and solvent, and in solvent itself. The method use local connection between electric displacement field D and electric field strength E : $D = \varepsilon(r)E$.

Keywords: electrostatics, solvation energy, smoothed dielectric permeability.

ИТЕРАЦИОННЫЙ МЕТОД РАСЧЕТА ПОЛЯРНОЙ СОСТАВЛЯЮЩЕЙ ЭНЕРГИИ ГИББСА РАСТВОРЕНИЯ МОЛЕКУЛ ПРИ УСЛОВИИ ПЛАВНОГО ИЗМЕНЕНИЯ ДИЭЛЕКТРИЧЕСКОЙ ПРОНИЦАЕМОСТИ РАСТВОРА

Григорьев Ф.В.^{1*}, Купервассер О.Ю.^{1**}, Кикоть И.П.^{2***}

¹*Научно-исследовательский вычислительный центр Московского государственного университета им.М.В. Ломоносова*

Учреждение Российской академии наук Институт химической физики им.

Н.Н.Семенова Российской академии наук, Москва

**E-mail*: fedor.grigoriev@gmail.com,

***E-mail*: olegkup@yahoo.com,

****E-mail*: irakikotx@gmail.com

Поступила в редакцию 21.02.2011

На основе ранее развитой модели формулируется итерационный метод расчета полярной составляющей энергии Гиббса растворения, предполагающий плавное изменение диэлектрической проницаемости как между субстратом и растворителем, так и внутри растворителя. Метод развит

в приближении локальной связи между векторами смещения D и напряженности электрического поля E : $D = \varepsilon(r)E$.

Ключевые слова: электростатика, энергия сольватации, сглаженная диэлектрическая проницаемость.

1. Введение

Расчет полярной компоненты энергии Гиббса сольватации молекулы G_{solv} представляет собой важную задачу, для решения которой было создано большое число различных методов [1-4]. Многие из них используют для расчета G_{solv} построение молекулярной поверхности [3-7], внутри которой диэлектрическая проницаемость имеет одно значение (как правило, близкое к единице), а вовне — другое. Эти методы отличает быстрота и точность. Но они имеют и много недостатков: во-первых, универсальные и точные алгоритмы построения гладких молекулярных поверхностей очень сложны и занимают много компьютерной памяти и времени [5-7]. Во-вторых, при малом сдвиге атомов может происходить значительная перестройка поверхности, что приводит к нефизическим скачкам G_{solv} при оптимизации структуры молекулы в растворе. Кроме того, в реальных физических средах изменение диэлектрической проницаемости происходит непрерывно и гладко, а не скачком.

Другой возможный подход состоит в том, чтобы напрямую решать уравнение Пуассона-Больцмана, разбивая все пространство на ячейки, но это связано с большими затратами компьютерной памяти и времени [8]. В настоящей работе на основе развитой ранее модели [1-2] дается компактная формулировка метода для расчета G_{solv} в среде с диэлектрической проницаемостью $\varepsilon(r)$, которая является дифференцируемой функцией координат пространства. Предлагаемый метод позволяет рассчитывать энергию сольватации для плавно меняющейся диэлектрической

проницаемости путем итерационного процесса, где на каждой итерации берется интеграл лишь по области, где существует ненулевой градиент диэлектрической проницаемости. Это позволяет значительно снизить затраты метода по сравнению с прямым решением уравнения Пуассона-Больцмана. Быстрота сходимости метода обеспечивает хорошие результаты уже для первой итерации.

Теоретические основы метода были заложены в работах [9-10]. Впервые метод с непрерывной диэлектрической проницаемостью был предложен в [2]. В этой работе предлагалось такое решение:

$$\mathbf{E} = -\frac{\nabla \psi_0}{\varepsilon}. \quad (1)$$

где ψ_0 — электростатическое поле, которое создавалось бы молекулой в отсутствие диэлектрика. Однако это решение не удовлетворяет уравнениям Максвелла для электростатики - ротор напряженности электрического поля не равен нулю [10]:

$$\nabla \times \mathbf{E} = \frac{\nabla \varepsilon \times \nabla \psi_0}{\varepsilon^2} \neq 0, \text{ если векторы } \nabla \varepsilon \text{ и } \nabla \psi_0 \text{ не сонаправлены.}$$

На самом деле выражение (1) является лишь *первым* приближением (достаточным, впрочем, на практике) для напряженности электрического поля, которая в действительности представляется полученным нами итерационным рядом. Дальнейшее развитие предложенный метод получил в работе [1], однако основной акцент в ней сделан на возможность нелокальной связи между векторами смещения и напряженности электрического поля.

Статья построена следующим образом. Вначале приводится описание новой итерационной схемы. Затем приводятся две модели сглаживания диэлектрической среды – одна уже ранее рассмотренная в работе [2], приводящая к разрывам в градиенте, а другая новая, позволяющая проводить бесконечное дифференцирование. В качестве доказательства работоспособности метода в третьей части приведены данные из работы [2] - результаты расчетов G_{solv} для некоторого набора молекул с учетом только первого члена

полученного разложения (1) и их сравнение с результатами эксперимента и расчетов другим методом, которые иллюстрируют очень быструю сходимость предлагаемого ряда. Также дается расчет двух следующих членов разложения, подтверждающий этот вывод.

Полярная компонента энергии Гиббса, которая ищется в данной работе, включает не только чисто электростатическую энергию: в нее также входят как компонента, связанная с частичным упорядочиванием диполей вдоль поля (энтропийная составляющая), так и неэлектростатическая энергия «растяжения» диполей вдоль поля. Однако никакого их дополнительного расчета не требуется – данные компоненты уже включены в вычисленную в статье энергию. Поскольку даже в серьезной литературе [9] встречается недостаточно ясное понимание этого факта, мы сочли нужным добавить Приложение, проясняющее этот вопрос.

2. Итерационная схема метода.

Пусть имеется молекула субстрата, помещенного в раствор. Плотность распределения заряда внутри этой молекулы ρ_0 , а диэлектрическая проницаемость равна 1. Окружающий раствор имеет диэлектрическую проницаемость ϵ_{out} , но переход на границе субстрата сглаживается. Основные уравнения электростатики:

$$\mathbf{D} = \epsilon(\mathbf{r})\mathbf{E} , \quad (2)$$

$$\nabla \cdot \mathbf{D} = 4\pi\rho_0 , \quad (3)$$

$$\mathbf{E} = -\nabla \psi . \quad (4)$$

где \mathbf{E} - вектор напряженности электрического поля, \mathbf{D} - вектор смещения электрического поля, ψ - потенциал электрического поля. Из последнего уравнения непосредственно следует, что $\nabla \times \mathbf{E} = 0$.

Под влиянием электрического поля зарядов внутри молекулы происходит поляризация окружающего ее диэлектрика, вследствие чего возникает ненулевое распределение так называемых связанных зарядов в

диэлектрике. Обозначим эту плотность распределения ρ . Тогда выполняется следующее соотношение:

$$\nabla \cdot \mathbf{E} = 4\pi(\rho_0 + \rho). \quad (5)$$

Как известно, зная распределение зарядов внутри молекулы ρ и диэлектрическую проницаемость в каждой точке пространства, можно однозначно найти потенциал электрического поля $\psi(\mathbf{r})$ при граничных условиях

$$\begin{aligned} \lim_{r \rightarrow \infty} r\psi(\mathbf{r}) &= \text{const}, \\ \lim_{r \rightarrow \infty} r^2 |\nabla \psi(\mathbf{r})| &= \text{const}. \end{aligned}$$

а, следовательно, и вектор напряженности \mathbf{E} . Из уравнения (4) тогда можно найти плотность связанных зарядов ρ , а через плотность выразить энергию взаимодействия молекулы и раствора.

Схему для расчета свободной энергии сольватации можно построить, сохранив локальную связь (1). Запишем полный потенциал в виде:

$$\psi = \frac{\psi_0}{\varepsilon} + \varphi, \quad (6)$$

где ψ_0 является решением следующего уравнения

$$\nabla^2 \psi_0 = -4\pi\rho_0, \quad (7)$$

то есть является потенциалом поля, которое создавалось бы в отсутствие диэлектрика. Тогда для напряженности поля \mathbf{E} и смещения \mathbf{D} из уравнений (4) и (2) получим:

$$\begin{aligned} \mathbf{E} &= -\frac{\nabla \psi_0}{\varepsilon} + \frac{\psi_0 \nabla \varepsilon}{\varepsilon^2} - \nabla \varphi, \\ \mathbf{D} &= -\nabla \psi_0 + \frac{\psi_0 \nabla \varepsilon}{\varepsilon} - \varepsilon \nabla \varphi. \end{aligned} \quad (8)$$

С учетом (7) и (8) условие (3) можно переписать так:

$$\nabla \left(\frac{\psi_0 \nabla \varepsilon}{\varepsilon} - \varepsilon \nabla \varphi \right) = 0. \quad (9)$$

Поскольку дивергенция выражения в скобках равна 0, то это выражение является ротором некоторого векторного поля \mathbf{B} :

$$\nabla \times \mathbf{B} = \frac{\psi_0 \nabla \varepsilon}{\varepsilon} - \varepsilon \nabla \varphi. \quad (10)$$

Отсюда можно выразить $\nabla \varphi = \frac{\psi_0 \nabla \varepsilon}{\varepsilon^2} - \frac{\nabla \times \mathbf{B}}{\varepsilon}$ и подставить в уравнение (8):

$$\mathbf{E} = -\frac{\nabla \psi_0}{\varepsilon} + \frac{\nabla \times \mathbf{B}}{\varepsilon}. \quad (11)$$

Тогда ротор напряженности, который равен нулю, может быть следующим образом выражен через векторное поле \mathbf{B} :

$$\frac{\nabla \varepsilon \times \nabla \psi_0}{\varepsilon} + \varepsilon \nabla \times \left(\frac{\nabla \times \mathbf{B}}{\varepsilon} \right) = \frac{\nabla \varepsilon \times \nabla \psi_0}{\varepsilon} - \frac{\nabla \varepsilon \times (\nabla \times \mathbf{B})}{\varepsilon} + \nabla \times (\nabla \times \mathbf{B}) = 0. \quad (12)$$

Последнее равенство представляет собой уравнение на векторное поле \mathbf{B} .

Перепишем его в виде линейного интегрального уравнения:

$$\begin{aligned} \nabla \times \mathbf{B} &= \frac{1}{4\pi} \int \left[\frac{-\frac{\nabla' \varepsilon \times \nabla' \psi_0}{\varepsilon} + \frac{\nabla' \varepsilon \times (\nabla' \times \mathbf{B})}{\varepsilon}, \mathbf{r} - \mathbf{r}' \right]}{|\mathbf{r} - \mathbf{r}'|^3} d^3 \mathbf{r}' = \\ &= \frac{1}{4\pi} \int \left[\nabla \frac{1}{|\mathbf{r} - \mathbf{r}'|}, \left(-\frac{\nabla' \varepsilon \times \nabla' \psi_0}{\varepsilon} + \frac{\nabla' \varepsilon \times (\nabla' \times \mathbf{B})}{\varepsilon} \right) \right] d^3 \mathbf{r}'. \end{aligned} \quad (13)$$

Один из возможных путей решения (13) связан с представлением \mathbf{B} в виде суммы $\mathbf{B} = \mathbf{B}_1 + \mathbf{B}_2 + \dots$, в которой ротор каждого последующего слагаемого существенно меньше ротора предыдущего. При этом считается, что $\nabla \varepsilon$ и $\nabla \times \mathbf{B}_1$ имеют одинаковый (первый) порядок малости. Исходя из предположения, что $\nabla \times \mathbf{B}$ мало по сравнению с $\nabla \psi_0$, первый член ряда может быть выбран следующим образом:

$$\nabla \times \mathbf{B}_1 = \frac{1}{4\pi} \int \left[\frac{-\frac{\nabla' \varepsilon \times \nabla' \psi_0}{\varepsilon}, \mathbf{r} - \mathbf{r}' \right]}{|\mathbf{r} - \mathbf{r}'|^3} d^3 \mathbf{r}' = \frac{1}{4\pi} \int \left[\nabla \frac{1}{|\mathbf{r} - \mathbf{r}'|}, -\frac{\nabla' \varepsilon \times \nabla' \psi_0}{\varepsilon} \right] d^3 \mathbf{r}'. \quad (14)$$

Подставляя (14) в (12) и сохраняя члены одного порядка малости, получим уравнение для следующего члена ряда:

$$-\frac{\nabla \varepsilon \times (\nabla \times \mathbf{B}_1)}{\varepsilon} + \nabla \times (\nabla \times \mathbf{B}_2) = 0. \quad (15)$$

Отсюда можно выразить второй член:

$$\nabla \times \mathbf{B}_2 = \frac{1}{4\pi} \int \left[\frac{\nabla' \varepsilon \times (\nabla' \times \mathbf{B}_1)}{\varepsilon}, \mathbf{r} - \mathbf{r}' \right] d^3 \mathbf{r}' = \frac{1}{4\pi} \int \left[\nabla \frac{1}{|\mathbf{r} - \mathbf{r}'|}, \frac{\nabla' \varepsilon \times (\nabla' \times \mathbf{B}_1)}{\varepsilon} \right] d^3 \mathbf{r}'. \quad (16)$$

Таким образом, получаем следующее рекуррентное соотношение для членов ряда:

$$\nabla \times \mathbf{B}_{n+1} = \frac{1}{4\pi} \int \left[\frac{\nabla' \varepsilon \times (\nabla' \times \mathbf{B}_n)}{\varepsilon}, \mathbf{r} - \mathbf{r}' \right] d^3 \mathbf{r}'. \quad (17)$$

Используя это соотношение, можно найти вектор $\nabla \times \mathbf{B}$. С учетом (11) можно теперь выразить плотность связанных зарядов через этот вектор из уравнения (5):

$$\rho = \frac{1}{4\pi} \left(\frac{\nabla \psi_0 \cdot \nabla \varepsilon}{\varepsilon^2} + \nabla \cdot \left(\frac{\nabla \times \mathbf{B}}{\varepsilon} \right) \right) = \frac{1}{4\pi} \frac{\nabla \varepsilon}{\varepsilon^2} \cdot (\nabla \psi_0 - (\nabla \times \mathbf{B})) \quad (18)$$

Полярная составляющая свободной энергии растворения может вычислена по следующей формуле:

$$G_{solv} = \frac{1}{2} \int \frac{\rho_0(\mathbf{r}) \rho(\mathbf{r}')}{|\mathbf{r} - \mathbf{r}'|} d^3 \mathbf{r} d^3 \mathbf{r}'. \quad (19)$$

В приближении $\nabla \times \mathbf{B} = 0$ имеем следующее выражение для энергии растворения:

$$G_{solv}^{(1)} = \frac{1}{8\pi} \int \frac{\rho_0(\mathbf{r}) \nabla' \psi_0 \cdot \nabla' \varepsilon}{|\mathbf{r} - \mathbf{r}'| [\varepsilon(\mathbf{r}')]^2} d^3 \mathbf{r} d^3 \mathbf{r}'. \quad (20)$$

Этот первый член разложения совпадает с предложенным в [2] приближением, как уже отмечалось выше. Кроме того, он описывается и в [1].

Другие члены ряда, определяемые из (14), (17) малы, если:

- 1) мал сам градиент диэлектрической проницаемости;
- 2) поле, создаваемое зарядами внутри субстрата, близко по направлению к градиенту диэлектрической проницаемости.

При стремлении ширины плавного перехода диэлектрической проницаемости к нулю на границе субстрата получаемый нами ряд становится эквивалентен итерационному ряду метода Polarizable Continuum Model [3].

3. Модель плавного изменения диэлектрической проницаемости на границе субстрата и растворителя.

Опишем, как должна меняться диэлектрическая проницаемость, чтобы выполнялось условие малости ее градиента, если известно, что внутри молекулы она равна 1, а в растворителе - $1 + 4\pi\{\chi_\infty + \chi_{in}\}$, где χ_∞ , χ_{in} – константы, большие нуля, отвечающие за быструю (электронную) и медленную (ядерную) диэлектрические проницаемости. За основу расчета диэлектрической проницаемости около субстрата используем модель непрерывной среды, разработанной в [2]:

$$\varepsilon(\mathbf{r}) = 1 + 4\pi z(\mathbf{r})\{\chi_\infty + \chi_{in}\varphi(z(\mathbf{r}))\}, \quad (21)$$

где $z(\mathbf{r})$ – некая функция, однозначно определяемая расстоянием от точки пространства \mathbf{r} до поверхности молекулы, которая подробно описывается

ниже, а $\varphi(z) = \exp\left\{\frac{(z-1)}{z_0}\right\}$ (z_0 – константа, большая нуля) (см. рис. 2). В

этом случае диэлектрическая проницаемость плавно меняется от 1 внутри молекулы до $1 + 4\pi(\chi_\infty + \chi_{in})$ в растворителе.

Зададим теперь поведение функции $z(\mathbf{r})$. Пусть молекулярная поверхность задается сферами Ван-дер-ваальса с радиусами R_j и центрами в атомах, радиус-векторы которых \mathbf{R}_j ; $j=1, \dots, N$ – текущий номер атома. Пусть $l(\mathbf{r})$ – расстояние от точки \vec{r} до молекулярной поверхности. Если точка \mathbf{r} не лежит внутри одного из атомов, т.е. если $\|\mathbf{r} - \mathbf{R}_j\| > R_j$ для всех j , тогда

$$l(\mathbf{r}) = \min_j l_j(\mathbf{r}), \text{ где } l_j(\mathbf{r}) = \|\mathbf{r} - \mathbf{R}_j\| - R_j,$$

иначе $l(\mathbf{r}) = 0$.

(22)

В работе [2] предлагается следующая формула для $z(\mathbf{r})$:

$$z(\mathbf{r}) = 1 + \exp\left\{-\frac{2l(\mathbf{r})}{\delta}\right\} - 2 \exp\left\{-\frac{l(\mathbf{r})}{\delta}\right\}, \quad (23)$$

где δ – малая константа, большая нуля, имеющая смысл ширины перехода.

Однако такой выбор $z(\mathbf{r})$ плох тем, что производная этой функции имеет разрыв в точках, где расстояния до двух или более атомов одинаковы.

Для более быстрой сходимости метода в настоящей работе рекомендуется использовать другую гладкую функцию $z(\mathbf{r})$, которая является бесконечно дифференцируемой в любой точке:

$$z(\mathbf{r}) = \frac{\sum_j \exp\left\{-\frac{\delta}{l_j(\mathbf{r})}\right\} \left(1 - \exp\left\{-\frac{\delta_1^2}{(l_j(\mathbf{r}) - l(\mathbf{r}))^2}\right\}\right)}{\sum_j \left(1 - \exp\left\{-\frac{\delta_1^2}{(l_j(\mathbf{r}) - l(\mathbf{r}))^2}\right\}\right)}, \quad (24)$$

причем константы δ , δ_1 удовлетворяют условию $\delta_1 \ll \delta < R_j$.

4. Сравнение результатов расчета полярной энергии, проведенного предлагаемым в статье методом, с экспериментом и с результатами расчета методом РСМ.

В работе [2] для приближения $\nabla \times \mathbf{B} = 0$ были проведены численные расчеты энергии растворения для ряда молекул, которые сравнивались с результатами расчета методом РСМ [3] и экспериментальными данными. Для расчета диэлектрической проницаемости использовалась формулы (21-23) со следующими параметрами:

$$z_0 = 0.5,$$

$$\delta = 0.32 \text{ \AA},$$

$$\varepsilon_{out} = 1 + 4\pi\{\chi_\infty + \chi_{in}\} = 78,$$

$$\varepsilon_\infty = 1 + 4\pi\chi_\infty = 1.77,$$

Заряды атомов были взяты из квантово-механических расчетов методом ХФ (6-31G(d,p) базис) согласно ESP схеме зарядовой локализации [13]. Радиусы были взяты из Таблицы 5 [12] и домножались на $k=0.92$ для предлагаемого метода и на $k=1.06$ для РСМ. Экспериментальные данные приводятся из работ [11-12].

Для выделения полярной составляющей из экспериментальной величины энергии Гиббса растворения ионизированной молекулы вычиталась

экспериментальная энергия Гиббса растворения аналогичной по структуре неионизированной молекулы, при этом разница неполярных составляющих близка к нулю. Полученный результат сравнивался с соответствующей разницей рассчитанных полярных компонент энергии Гиббса растворения этих двух молекул. Сравнение полярных энергий Гиббса (см. рис. 3) свидетельствуют о быстрой сходимости рассматриваемого метода – уже первый член полученного нами ряда обеспечивает достаточную точность модели.

Поскольку может возникнуть вопрос, насколько сильный вклад могут вносить дополнительные члены разложения, был проведен численный расчет первого ($G_{solv}^{(1)}$ из формулы (20)) и двух последующих членов разложения ($G_{solv}^{(2)}$ из формул (14,18,19), $G_{solv}^{(3)}$ из формул (16, 18, 19)) для пяти ионов, уже рассмотренных ранее в [2]. Соответствующие интегралы нужно численно подсчитывать лишь в узкой области вблизи поверхности молекулы. Вне этой области подынтегральная функция близка к нулю, из-за малой величины градиента ε . В точках разрыва подынтегральной функции интегралы имеют хорошую математическую сходимость. Эти факты значительно облегчают задачу численного интегрирования. Для расчета заряда атомов в отличие от [2] использовалась модель силового поля MMFF94. Соответственно радиусы из Таблицы 5 [12] домножались на $k=0.8$. Остальные параметры брались теми же, что и в [2]. Результат расчета (в ккал/моль) приводится в Таблице 1.

Из приведенных результатов расчета можно видеть, что итоговая поправка, вносимая следующими двумя членами разложения, действительно мала и имеет тот же порядок величины, что и среднеквадратичное отклонение расчетов $G_{solv}^{(1)}$ от эксперимента $\Delta G_{эксп}$ (1.75 ккал/моль, см. подпись к рис. 3). Результаты расчета первой поправки $G_{solv}^{(1)}$ на рис. 3 взяты из [2] и очень близки по величине к полученным в данной работе.

5. Выводы.

В данной работе предложена компактная формулировка итерационного метода расчета полярной составляющей энергии Гиббса растворения G_{solv} в случае непрерывного распределения диэлектрической проницаемости раствора. Подобное распределение дает более физически верную модель растворителя на границе с субстратом, предотвращает скачки G_{solv} при сдвиге атомов, позволяет легко рассчитать ситуации с плавным изменением диэлектрической проницаемости растворителя. Предложена гладкая, бесконечно дифференцируемая модель для диэлектрической проницаемости на границе субстрата с растворителем. Сравнение численного расчета уже для первой итерации $G_{solv}^{(1)}$ дает хорошее совпадение с экспериментом и расчетом G_{solv} на основе метода РСМ.

Из результатов расчета двух следующих членов разложения можно видеть, что их сумма мала и имеет тот же порядок величины, что и среднеквадратичное отклонение первой поправки от эксперимента.

Благодарности.

Авторы выражают глубокую признательность Базилюскому М. В. за предоставленные статьи и ссылки, которые были использованы в данной работе.

Приложение

Часто возникает вопрос о том, какая величина вычисляется с помощью диэлектрической проницаемости (полярная компонента энергии сольватации) – потенциальная электростатическая внутренняя энергия или энергия Гиббса [9]. В данном приложении содержится рассмотрение этого вопроса для модельной системы, подтверждающее последнее.

Рассмотрим вначале вопрос качественно. Энергию Гиббса можно записать так:

$$G_{free} = U_{el} + U_{nonel} - TS + pV, \quad (25)$$

где U_{el} – потенциальная электростатическая энергия:

$$U_{el} = \int \frac{E^2}{8\pi} dV, \quad (26)$$

U_{nonel} – неэлектростатическая энергия (т.е. потенциальная энергия натяжения «пружинок», которая присутствует, когда диполь в диэлектрике описывается как два заряда, соединенные пружинкой, и отсутствует для жестких вращающихся диполей),

TS – энтропийная составляющая. Энтропия уменьшается при растворении, вследствие упорядочивания диполей при поляризации среды.

pV – малосущественная компонента, поскольку объем почти не меняется при растворении.

Полярная компонента энергии сольватации определяется формулой:

$$G_{pol} = \int \frac{\varepsilon E^2}{8\pi} dV. \quad (27)$$

Из того, что она не совпадает с U_{el} (26), уже очевидно, что она не может быть потенциальной электростатической энергией. С другой стороны, можно проиллюстрировать качественно, что G_{pol} обладает свойствами свободной энергии, т.е. при растворении

$$\Delta G_{free} = \Delta G_{pol}. \quad (28)$$

Действительно, для $T=0$ и жестких диполей при растворении из (25):

$$\Delta G_{free} = \Delta U_{el} = \int \frac{E_2^2}{8\pi} dV - \int \frac{E_1^2}{8\pi} dV \quad (29)$$

и из (27)

$$\Delta G_{pol} = \Delta U_{el} = \int \frac{\varepsilon E_2^2}{8\pi} dV - \int \frac{E_1^2}{8\pi} dV . \quad (30)$$

Если $\Delta G_{free} = \Delta G_{pol}$ верно, то это возможно только для $\varepsilon=1$.

Действительно, жесткие диполи при абсолютном нуле все полностью ориентированы в одном направлении и линейный отклик поляризации среды на поле отсутствует – отсюда $\varepsilon=1$, как и ожидалось из (29) и (30)

Для $T=0$ и диполей на «пружинках» при растворении из (25):

$$\Delta G_{free} = \Delta U_{el} + \Delta U_{nonel} = \int \frac{E_2^2}{8\pi} dV - \int \frac{E_1^2}{8\pi} dV + \Delta U_{nonel} \quad (31)$$

и из (27)

$$\Delta G_{pol} = \Delta U_{el} = \int \frac{\varepsilon E_2^2}{8\pi} dV - \int \frac{E_1^2}{8\pi} dV . \quad (32)$$

Если $\Delta G_{free} = \Delta G_{pol}$ верно, то ожидается ненулевой линейный отклик поляризации среды $\varepsilon>1$ за счет ΔU_{nonel} . И действительно, ничто не мешает таким диполям растягиваться и при абсолютном нуле, давая линейный отклик поляризации среды на поле, т.е. $\varepsilon>1$ как и ожидалось из (31) и (32)

Опишем ситуацию для жестких диполей количественно. Рассмотрим изменение свободной энергии системы диполей, помещенных в полное электрическое поле (собственное + внешнее) напряженностью E . Предположим, что поле слабо меняется на величине диполя. Тогда можно записать для изменения свободной энергии ΔG :

$$\Delta G = G(E) - G(0) = RT \ln \int \exp(-\beta(\sum -d_i E(r_i) \cos \vartheta_i)) d\Gamma . \quad (33)$$

В (33) интегрирование ведется по всему фазовому пространству, d_i модуль i -ого дипольного момента $E(r_i)$ - напряженность полного поля в центре i -

ого дипольного момента, $\cos \vartheta_i$ - угол между внешнем полем и дипольным моментом, суммирование в экспоненте ведется по всем диполям. Отметим, что в (33) не используется предположение об отсутствии взаимодействия наведенных дипольных моментов.

Возьмем вариацию от (33) по функции напряженности внешнего поля. Получим

$$\frac{\delta(\Delta G)}{\delta E} = \frac{\int \sum -d_i \cos \vartheta_i \exp(-\beta(\sum -d_i E(r_i) \cos \vartheta_i)) d\Gamma}{\int \exp(-\beta(\sum -d_i E(r_i) \cos \vartheta_i)) d\Gamma} \quad (34)$$

Видно, что (34) – это просто среднее значение проекции индуцированного дипольного момента на направление напряженности внешнего поля. Тогда получаем

$$\frac{\delta(\Delta G)}{\delta E} = p = (\varepsilon - 1)\varepsilon_0 E \quad (35)$$

Здесь мы использовали то, что индуцированный дипольный момент единицы объема p связан с диэлектрической восприимчивостью χ как

$$p = \chi \varepsilon_0 E \quad (36)$$

а диэлектрическая проницаемость с восприимчивостью как

$$\varepsilon = 1 + \chi \quad (37)$$

Интегрируя уравнение (35), получим:

$$\Delta G = \frac{(\varepsilon - 1)\varepsilon_0 E^2}{2} + C \quad (38)$$

Константа интегрирования C определяется из условия $\Delta G(\varepsilon = 1) = 0$, получаем $C=0$. Окончательно,

$$\Delta G = \frac{(\varepsilon - 1)\varepsilon_0 E^2}{2}, \quad (39)$$

что и требовалось доказать.

СПИСОК ЛИТЕРАТУРЫ

1. *Basilevsky M.V., Grigoriev F.V., Kupervasser O.Yu.* // J. Phys. Chem. B. 2010. V.114. P.16427
2. *Basilevsky M.V., Grigoriev F.V., Nikitina E.A., Leszczynski J.*// J. Phys. Chem. B. 2010. V.114. P.2457.
3. *Tomasi J., Persico M.*// Chem. Rev. 1984. V.94. P.2027.
4. *Klamt B., Schuurmann S.*// J. Chem. Soc. Perkin Trans. 1993. V.2. P.779
5. *Connolly, M. L.* // J. Appl. Crystallogr., 1983. V.16. P.548.
6. *Totrov M., Abagyan R.* // Journal of Structural Biology, 1996. V.116. P.138.
7. *Vorobjev Y.N., Hermans J.* // Biophysical Journal, 1997. V.73. P.722
8. *Im W., Beglov D., Roux B.* // Computer Physics Communications, 1998. V.111.P.59
9. *Воротинцев М.А. , Корнышев А.А.* Электростатика сред с пространственной дисперсией. М.: Наука, 1993.
10. *Kharkats Y., Kornyshev A.A., Vorotyntsev M.A.*// J. Chem. Soc., Faraday Trans. 2. 1976. V. 72. P. 361.
11. *Chudinov G.E., Napolov D.V., Basilevsky M.V.*// Chem. Phys. 1992. V.160. P.41.
12. *Jorgensen W.L., Ulmschneider J.P., Tirado-Rivers J.* // J. Phys. Chem. B. 2004. V.108. P.16264.
13. *Frisch M.J., Trucks G.W., Schlegel H.B. et al.* Gaussian 03 (Revision B.03); Pittsburgh PA: Gaussian Inc, 2003.
14. A. Ben-Naim, *Solvation Thermodynamics* (Plenum Press, NY, 1987).

Таблица 1. Расчетные и экспериментальные энергии сольватации

Ион	$\Delta G_{\text{экл}}[2]$	$G_{\text{solv}}^{(1)}$	$G_{\text{solv}}^{(2)}$	$G_{\text{solv}}^{(3)}$	$\Delta G_{\text{solv}} = G_{\text{solv}}^{(2)} + G_{\text{solv}}^{(3)}$
$(\text{CH}_3)_2\text{NH}_2^+$	-65,9	-65,89	-3,22	1,67	-1,55
$(\text{CH}_3)_3\text{NH}^+$	-58,9	-60,05	-2,33	0,66	-1,67
$\text{CH}_3(\text{CH}_2)_2\text{NH}_3^+$	-68,8	-71,30	-8,61	6,01	-2,60
$\text{CH}_3\text{CH}_2\text{NH}_3^+$	-70,4	-72,57	-6,27	5,49	-0,78
CH_3NH_3^+	-73,1	-75,23	-3,03	2,02	-1,01

Список рисунков.

Рис. 1. Определение расстояния до молекулы. Из работы [2].

Рис. 2. Поведение функции $z(l)$. Из работы [2].

Рис. 3. Для ионов аммониевого типа корреляция величин $G_{solv}^{(1)}$ и G_{exp} (а), среднеквадратичное отклонение 1.75 ккал/моль) и

$G_{solv}^{(1)}$ и G_{PCM} (б, среднеквадратичное отклонение 1.68 ккал/моль); здесь $G_{solv}^{(1)}$ - энергии Гиббса растворения, полученная при расчете в рамках только одной (первой) итерации, G_{PCM} - то же в рамках РСМ, G_{exp} - пересчитана из эксперимента. Все энергетические величины даны в ккал/моль.

Использованы данные из работы [2].

Рис. 1.

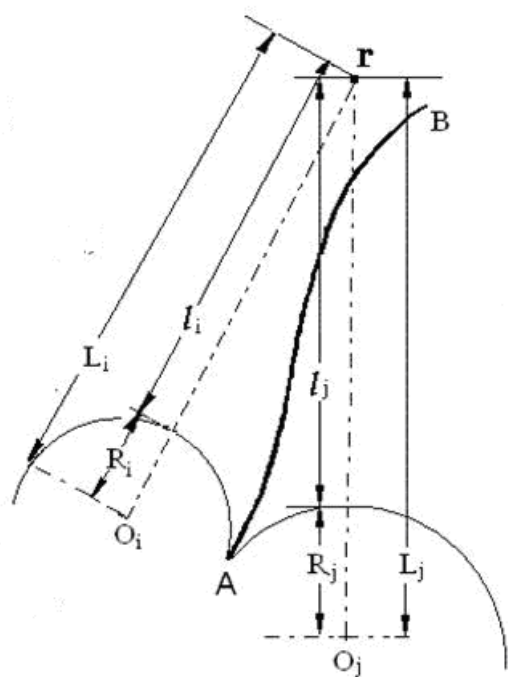


Рис. 2.

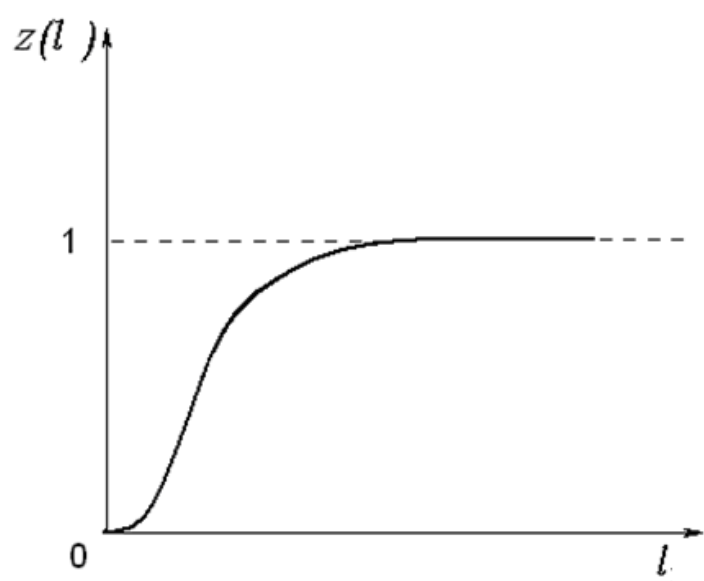
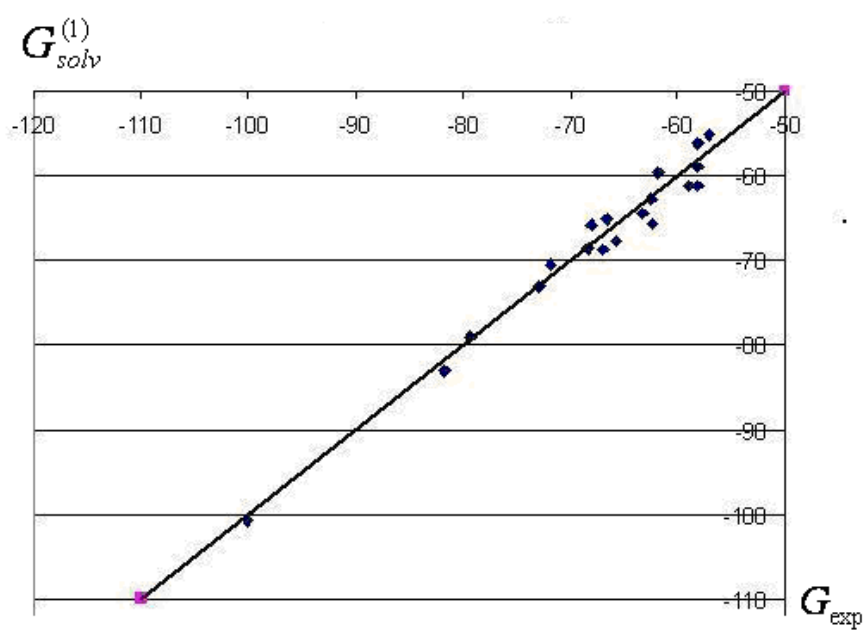
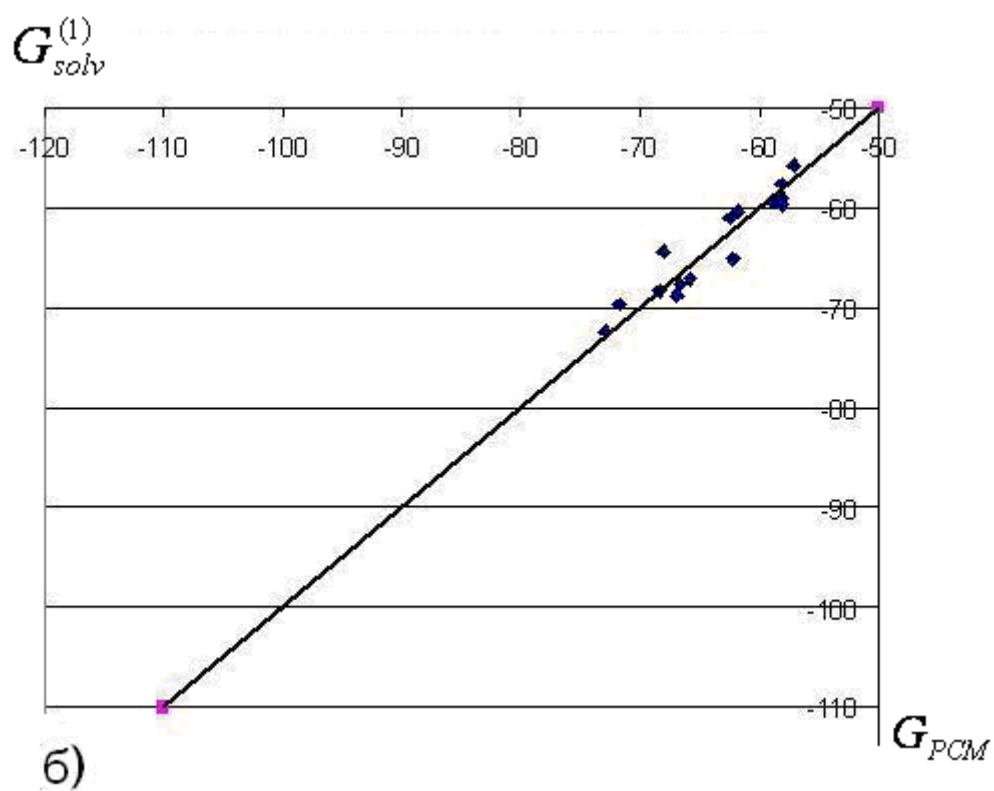


Рис.3.



a)



б)